

I-10 むじりを考慮した2主変断面桁の荷重分配について

北海道大学 学生員 工修 佐伯 昇
清水建設 正員 工修 ○小野 满

1. まえがき

先の論文において¹⁾ むじり剛度の大きい場合の荷重分配について述べたが、本論文ではむじりを考慮した両端固定の2主変断面桁について解析を行った。又拘束むじりを考慮した微分方程式を差分によって解析した。この場合もすれも2主桁の中心でせん断力のみ伝達するものとした。さらに等断面の場合と変断面の場合とビリょうな達がころか比較してみた。

2. 理論の概要

図1に示しているように不静定せん断力のみを挿入すると荷重Pによる変位 δ_p は桁の変位 W_p 、むじりによる変位 $\Delta\theta_p$ 、片持析としての変位 f_p の和である、又不静定力Xによる変位 δ_x も同様である。

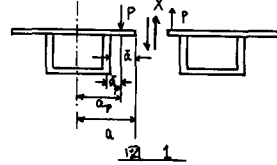
$$\delta_p = W_p + \Delta\theta_p + f_p \quad \dots \dots \dots (1)$$

$$\delta_x = W_x + \Delta\theta_x + f_x \quad \dots \dots \dots (2)$$

荷重と各変位との関係は

$$\frac{d^2}{dx^2} (EI_x \frac{d^2}{dx^2} W(x)) = P \quad \dots \dots \dots (3) \quad -\frac{d}{dx} (G I_t \frac{d}{dx} \theta) = -M_t \quad \dots \dots \dots (4)$$

$$f = \frac{\alpha}{EI_p} P \quad \dots \dots \dots (5)$$



連続条件により $\delta_p + \delta_x = 0$ であるから

$$X(x) - \alpha^2 \frac{d^2}{dx^2} \left[EI_x \frac{d}{dx} \left(\frac{1}{G I_t} \int^x dx \right) \right] + \frac{d^2}{dx^2} \left[EI_x \frac{d^2}{dx^2} \left(\frac{d\theta}{EI_p} X \right) \right] = -P - \alpha \frac{d^2}{dx^2} \left[EI_x \frac{d}{dx} \left(\frac{M_t}{EI_p} \right) \right] - \frac{d^2}{dx^2} \left[EI_x \frac{d^2}{dx^2} \left(\frac{\alpha}{EI_p} P \right) \right] \quad \dots \dots \dots (6)$$

3. 等断面両端固定の場合

$$X''' - 4 \frac{C_T}{C_p} X'' + \frac{1}{C_p} X = \frac{1}{C_p} P \quad \therefore C_p = \frac{3}{4} \cdot \frac{\bar{a}^2 I_x}{E^2 I_p}, C_T = \frac{E}{G} \cdot \frac{a^2 I_x}{E^2 I_p}, \lambda = \frac{x}{a}$$

$$\text{解: } X = -P (1 + C_1 \cosh \lambda x \sin \beta \lambda + C_2 \cosh \lambda x \cos \beta \lambda + C_3 \sinh \lambda x \cos \beta \lambda + C_4 \sinh \lambda x \sin \beta \lambda)$$

$$\text{境界条件 ① } X(0)' - 2 \cdot \frac{C_T}{C_p} \{ P - \frac{1}{C_p} (X(0)''' - 4 \cdot \frac{C_T}{C_p} X(0)'' - X''(1) + 4 \cdot \frac{C_T}{C_p} X'(1)) \} = -2 \cdot \frac{C_T}{C_p} \alpha_2 P \quad \dots \dots \dots (7)$$

$$\text{② } X'(0) + 2 \cdot \frac{C_T}{C_p} \{ P - \frac{1}{C_p} (X(0)''' - 4 \cdot \frac{C_T}{C_p} X(0)'' - X''(1) + 4 \cdot \frac{C_T}{C_p} X'(1)) \} = 2 \cdot \frac{C_T}{C_p} \alpha_2 P$$

$$\text{③ } X(0) = -\frac{\alpha_2}{2} P$$

$$\text{④ } X(1) = -\frac{\alpha_2}{2} P$$

$$\therefore \alpha_2 = \frac{\alpha_p}{a}, \alpha_1 = \bar{a}^3/3, \alpha_0 = \bar{a}_p^3/3 + \bar{a}_p(\bar{a} - \bar{a}_p)/2$$

3.1 図2は C_T をパラメータとして等分布荷重 $P=1$ が一つの桁の中央と床版の左端に載荷した場合のスパン中央でのせん断力をプロットしたものである。

4. 変断面の場合（拘束むじりを考慮）

式(4)を $\frac{d}{dx} (G I_t \frac{d}{dx} \theta) - \frac{d^3}{dx^3} (E I_x \frac{d^2}{dx^2} \theta) = -M_t$ として不静定力はせん断力のみとする。

これを差分法によらし、マトリックス表示すると

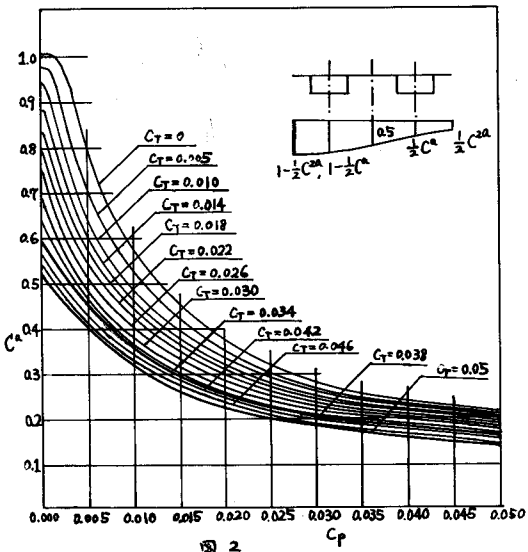


図 2

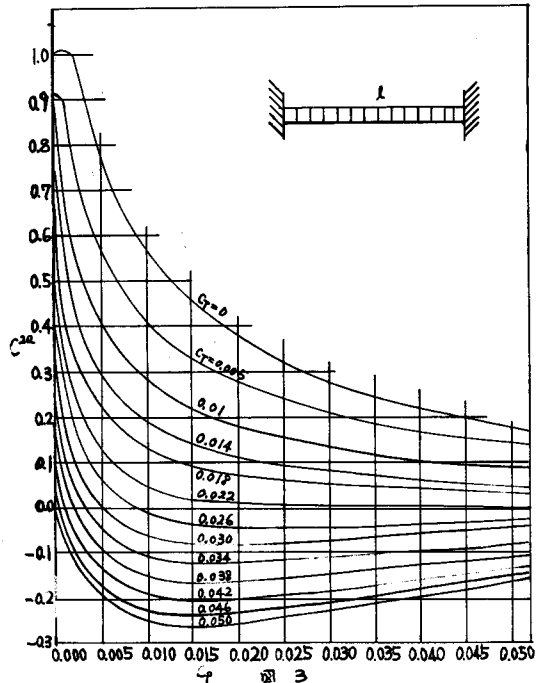


図 3

$$[M_{P1}][W_p] = [P], [M_{P2}][\theta_p] = \alpha_p[P], [f_p] = \frac{\alpha_0}{EI_p}[1]$$

$$[M_{X1}][W_x] = [X], [M_{X2}][\theta_x] = \alpha_x[X], [f_x] = \frac{\alpha_1}{EI_p}[1]$$

連続条件 $\delta_x = -\delta_p$ によって各点において一致

させると

$$[W_x] + \alpha_x[\theta_x] + [f_x] = -\{[W_p] \\ + \alpha_p[\theta_p] + [f_p]\}$$

$$[X] = -[M_x]^{-1}[M_p][P]$$

$$\therefore \tau''[M_x] = [M_x]^{-1} + \alpha_x^2[M_x]^{-1} + \frac{\alpha_1}{EI_p}[1]$$

$$[M_p] = [M_p]^{-1} + \alpha_p\alpha_x[M_{p2}]^{-1} + \frac{\alpha_0}{EI_p}[1]$$

4.1 単純ねじりの場合と拘束ねじりの場合との比較

$I_x = 4$, $I_t = 6.4$, $I_p = 0.00089$, $l = 50$, $\alpha = 4$ の等断面として比較した。図4からわかるようにほとんど変わらない。単純ねじりの場合、微分方程式の解と差分との誤差は1%である。

4.2 変断面の形状による不静定力 X と等断面との比較

変断面 I_x , I_t の算術平均 \bar{I}_x , \bar{I}_t とする。図5は \bar{I}_x , \bar{I}_t を一定にしておいて断面形状を支点断面において $2\bar{I}_x$, $3\bar{I}_x$, \bar{I}_x 同様に $2\bar{I}_t$, $3\bar{I}_t$, \bar{I}_t と変化させたものである。これらの組合せを $i-j$ とした。3-3は平均等断面を表す。図5からわかるように平均断面はこれら3種の値の中間の値に近く、変断面の場合より平均断面を用いて図2, 3を適用できることと思われる。

文献
24回年次学術講演会講演集

佐伯昇、小野満ヒンゲで連結された3本の
変断面箱桁を有するコンクリート橋の解析について

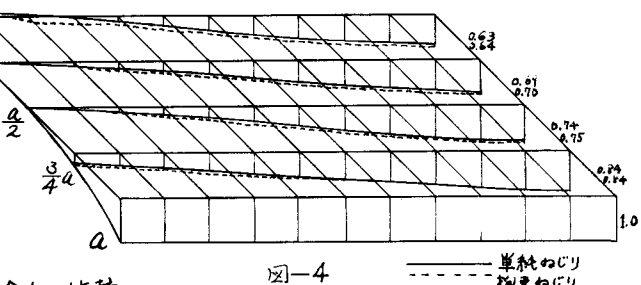


図 4

----- 単純ねじり
- - - - 拘束ねじり

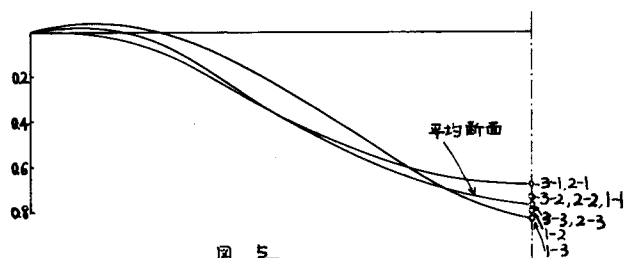


図 5